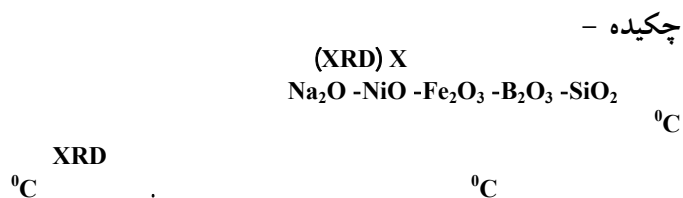


تأثیر عملیات حرارتی و اتمسفر بر خواص مغناطیسی شیشه سرامیک فریت نیکل نانوساختار

امیر مهدی مولوی، سید محمد میر کاظمی\* و علی بیت اللهی  
دانشکده مهندسی مواد و متالورژی، دانشگاه علم و صنعت ایران

(دریافت مقاله: ۱۳۹۰/۱۲/۱۴ - دریافت نسخه نهایی: ۱۳۹۱/۰۷/۲۹)



واژگان کلیدی :

# The Effects of Heat Treatment and Atmosphere on Magnetic Properties of Nano-Structured Nickel Ferrite Glass-Ceramic

A. M. Molavi, S. M. Mirkazemi and A. Beitollahi

1. School of Material Science and Engineering, Iran University of Science and Technology

**Abstract:** The effects of temperature, time and atmosphere on microstructure and magnetic properties of  $\text{NiFe}_2\text{O}_4$  glass-ceramic were investigated utilizing differential thermal analysis, X-ray diffraction, vibrating sample magnetometer and scanning electron microscope techniques. Various compositions were studied in the  $\text{Na}_2\text{O}-\text{NiO}-\text{Fe}_2\text{O}_3-\text{B}_2\text{O}_3-\text{SiO}_2$  system to obtain amorphous phase. The sample heat-treated in graphite bed at  $510^\circ\text{C}$  for 1 hr showed higher magnetization than the one heat-treated in the air under the same condition. XRD analysis showed the presence of nickel ferrite and some non-magnetic phases such as sodium borate and silicate phases in the heat treated samples. The maximum magnetization of samples reduced by increasing the holding time from 1 hr to 3 hr at  $510^\circ\text{C}$ . Increment of temperature to  $700^\circ\text{C}$  increased the amount of  $\text{NiFe}_2\text{O}_4$  and maximum magnetization.

**Keywords:** Nickel ferrite, Glass-ceramic, Nanostructure, Magnetic properties

\* : مسئول مکاتبات، سمت الکترونیک : [mirkazemi@iust.ac.ir](mailto:mirkazemi@iust.ac.ir)

## ۱- مقدمه

فریت نیکل نانوسایز به روش های مختلفی از جمله واکنش حالت جامد، سل-ژل، هم رسوی، هیدرورترمال، آلیاژسازی مکانیکی و شیشه سرامیک سنتز شده است [۴-۵]. کوماتسو<sup>۱</sup> نشان داد که در هنگام تبلور فاز فریت نیکل از درون شیشه، فاصله  $O^{2-}$ - $Fe^{3+}$  و اعوجاج مکان های یون  $Fe^{3+}$  کاهش می یابد، میانکنش های فوق تبادلی<sup>۲</sup> بین  $T_g$  و  $T_c$  شروع به آغاز می کند و میدان مغناطیسی داخلی با افزایش اندازه ذرات  $NiFe_2O_4$  افزایش می یابد [۱۰].

مزیت روش شیشه سرامیک این است که اختلاط اولیه یون ها در مقیاس اتمی بوده و بنابراین در این روش قابلیت کنترل اندازه ذرات فاز مغناطیسی تشکیل شده از طریق برنامه عملیات حرارتی دقیق و مناسب وجود دارد. از طرف دیگر اختلاط اولیه یون ها در مقیاس اتمی بوده بنابراین جوانهزنی و رشد یکنواخت ذرات در زمینه شیشه در دمای پایین خواهد بود که نتیجه آن اندازه کوچک هر یک از بلورهای تشکیل شده و توزیع باریکی از اندازه ذرات است [۱۱-۱۳]. مزیت دیگر، امکان و سهولت جایگزینی یون های متفاوت به تعداد مورد نیاز به جای یون های آهن، به منظور تنظیم خواص مغناطیسی است [۱۴ و ۱۳].

هدف از انجام این پژوهش بررسی پارامترهای اتمسفر، دما و زمان بر میزان تبلور فاز فریت نیکل نانو اندازه و بررسی خواص مغناطیسی حاصل از آن است.

## ۲- مواد و روش تحقیق

برای تأمین اکسیدهای  $Fe_2O_3$ ,  $B_2O_3$ ,  $SiO_2$  و  $Na_2O$  از مواد اولیه  $SiO_2$  (سیلیس ستران با خلوص > ۹۸٪) و  $H_3BO_3$  (MERCK مخصوصات  $Na_2CO_3$ ,  $NiO$ ,  $Fe_2O_3$  و  $Fe_2O_3$ ) استفاده شد. بچه های مواد اولیه در بوته آلومینایی در محدوده دمایی  $1450^{\circ}C$ - $1270^{\circ}C$  و زمان نگهداری ۱۵ دقیقه در کوره الکتریکی در اتمسفر هوای خشک شدند. سپس مذاب ها بین غلطک های فولادی چرخان ریخته و کوئنچ شدند. با انجام این فرایند پولک هایی با ضخامت تقریبی  $50\mu m$  حاصل شد. برای بررسی

فریت ها یکی از گروه های بسیار پر کاربرد اکسیدهای مغناطیسی اند زیرا از خود خواص مغناطیسی، الکتریکی و اپتیکی جالبی نشان می دهند. خصوصیاتی همچون مقاومت به خوردگی، مقاومت الکتریکی بسیار بالا و خواص مغناطیسی بسیار خوب در فرکانس های بالا، باعث شده تا فریت ها به صورت گستره ای در زمینه های گوناگون تکنولوژیکی از قبیل بیولوژی، الکترونیک، تکنولوژی ذخیره اطلاعات با دانسته بالا، ساخت فروسیال ها، تصویربرداری رزونانس مغناطیسی (MRI) و سرد سازی مغناطیسی استفاده شوند [۱۱ و ۱۲].

فریت نیکل ( $NiFe_2O_4$ ) یک ماده نرم مغناطیس با میدان پسماندزدا و میزان اشباع مغناطیسی کم و مقاومت الکتریکی بالاست که این خصوصیات این ماده را برای کاربردهای مغناطیسی و مغناطیو اپتیکی مناسب می سازد [۱]. بسته به ریز ساختار نمونه، این ماده می تواند از خود رفتار فری مغناطیس یا سوپرپارامغناطیس نشان دهد که رفتار فری مغناطیس آن مربوط به نمونه های با اندازه ذرات بیشتر از  $15nm$  و رفتار سوپرپارامغناطیس آن برای نمونه های با اندازه ذرات کمتر از  $10-15 nm$  رخ می دهد. این ماده دارای ساختار اسپینل معکوس است، اما هنگامی که اندازه ذرات آن کاهش یابد و در محدوده مواد نانومتری قرار گیرد ساختار آن به اسپینل محلوت تغییر می یابد [۳]. با تحقیقات انجام شده بر روی خواص مغناطیسی نانو ذرات امروزه کاملاً مشخص شده که با کاهش اندازه ذرات، آهنربایش این مواد کاهش می یابد [۱]. آهنربایش کمتر نانو ذرات  $NiFe_2O_4$  در مقایسه با بالک این ماده به بی نظمی اسپین سطحی<sup>۱</sup> ربط داده شده است. بی نظمی اسپینی عمده تا به دلیل عدد همسایگی کمتر اتم های سطح و همچنین به دلیل باندهای تبادلی شکسته است [۴]. علاوه بر این بی نظمی اسپین سطحی می تواند در نتیجه لایه های با ناهمسان گردی زیاد در سطح و یا فقدان نظم برد بلند در لایه سطحی باشد. این تأثیرات در مورد فریت ها به دلیل میانکنش های تبادلاتی (از طریق یون های اکسیژن در شبکه فریت) می تواند شدیدتر باشد [۱].

مقادیر بیشینه آهنربایش (M) و میدان پسمانندزدا ( $H_c$ ) توسط مغناطومتر نمونه مرتعش (مغناطیس دقیق کویر-MDK6) اندازه‌گیری شد. برای بررسی ریزساختار از میکروسکوپ الکترونی رویشی (SEM) (Tescan// vega-xnu) (SEM) استفاده شد. برای آماده‌سازی نمونه‌های SEM، پولکها در HF ۵٪ به مدت ۱۵ ثانیه اج شدند.

### ۳- یافته‌ها و بحث

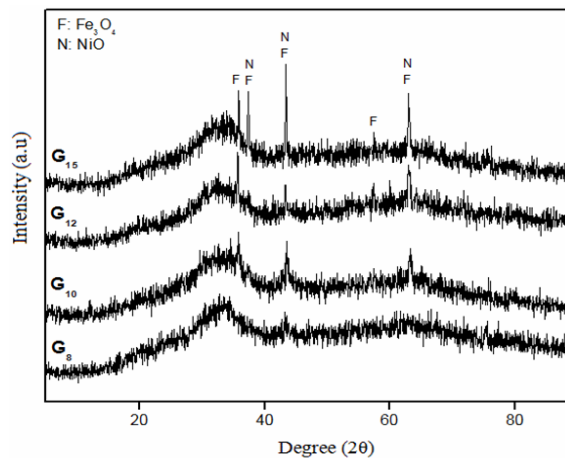
با توجه به اینکه هدف این پژوهش سنتز شیشه‌سرامیک فریت نیکل و بررسی پارامترهای اتمسفر، دما و زمان عملیات حرارتی بر تبلور فاز فریتی و خواص مغناطیسی آن است، بنابراین در گام اول این پژوهش سعی شد تا با استفاده از ترکیبی مناسب، شیشه‌ای حاوی اکسیدهای تشکیل دهنده فریت نیکل ( $Fe_2O_3$  و  $NiO$ ) تهیه شود. از آنجایی که فریت نیکل دارای فرمول  $NiO \cdot Fe_2O_3$  است، نسبت مولی اکسید آهن و اکسید نیکل ۱:۱ در نظر گرفته شد. علاوه بر اکسیدهای شیشه‌ساز نیکل از اکسیدهای  $SiO_2$  و  $B_2O_3$  به عنوان اکسیدهای شیشه‌ساز و از  $Na_2O$  به عنوان اکسید دگرگون‌ساز ساختار شیشه استفاده شد. در جدول (۱) درصد مولی اکسیدهای استفاده شده در ترکیبات مختلف آورده شده است. همچنین تحلیل XRD این ترکیبات در شکل (۱) نشان داده شده است. همان‌گونه که در تحلیل XRD مشاهده می‌شود در ترکیب  $G_{15}$  در هنگام سردشدن فازهای  $NiO$  و  $Fe_3O_4$  متبلور شده‌اند. در این سیستم بین اکسیدهای شیشه‌ساز<sup>۴</sup>,  $SiO_2$ ,  $B_2O_3$ ، و اکسیدهای واسطه<sup>۵</sup>  $Fe_2O_3$  و  $NiO$  رقابت بر سر گرفتن اکسیژن وجود دارد[۱۵]. با توجه به این که قدرت میدان کاتیونی آهن و نیکل کمتر از سیلیسیم و بور است[۱۶] به نظر می‌رسد بخشی از یون‌های آهن و نیکل نمی‌توانند با کسب عدد همسایگی لازم در ساختار شیشه پایدار شوند و بنابراین در هنگام سردشدن شروع به تبلور می‌کنند.

در شیشه‌های  $G_{12}$ ,  $G_{10}$  و  $G_8$  سعی شد تا با تأمین اکسیژن کاتیون‌های شیشه‌ساز از طریق افزایش میزان  $Na_2O$  به ازای

جدول ۱- درصد مولی اکسیدهای مورد استفاده در ترکیبات

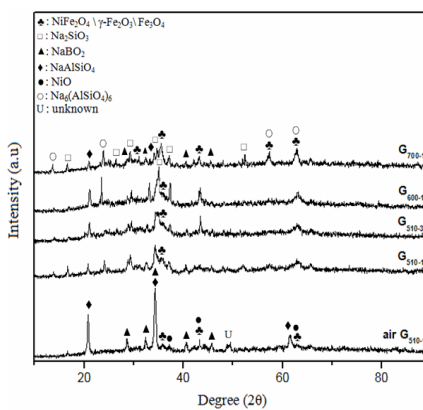
مختلف برای تهیه شیشه پایه

		ترکیب شیمیایی (% مولی)				
		Na <sub>2</sub> O	Fe <sub>2</sub> O <sub>3</sub>	NiO	B <sub>2</sub> O <sub>3</sub>	SiO <sub>2</sub>
	G <sub>15</sub>	۳۰	۱۵	۱۵	۲۰	۲۰
	G <sub>12</sub>	۳۶	۱۲	۱۲	۲۰	۲۰
	G <sub>10</sub>	۴۰	۱۰	۱۰	۲۰	۲۰
	G <sub>8</sub>	۴۴	۸	۸	۲۰	۲۰



شکل ۱- الگوی XRD ترکیبات با درصدهای مختلف اکسید آهن و اکسید نیکل برای تهیه شیشه پایه

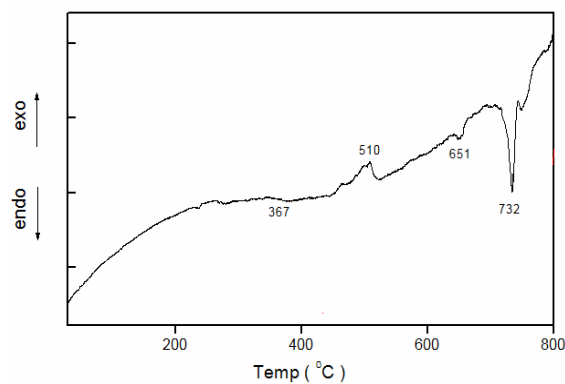
آمرف بودن نمونه‌ها از تحلیل پراش اشعه X (XRD) استفاده شد (PHILIPS-PW1800). تحلیل حرارتی افتراقی (DTA) (Rheometric Scientific - SPA1500) برای تعیین دماهای عملیات حرارتی مورد استفاده قرار گرفت. نمونه‌ها در اتمسفر آرگون و با سرعت  $10^{\circ}C / min$  حرارت داده شدند و از آلومینیا به عنوان نمونه مرجع استفاده شد. سپس نمونه‌ها بر طبق نتایج DTA در دماها و زمان‌های مختلف عملیات حرارتی شدند. برای بررسی اثر اتمسفر، نمونه‌های شیشه در بستر گرافیتی و در اتمسفر هوا عملیات حرارتی شدند. برای تعیین فازهای تبلور یافته در مرحله عملیات حرارتی از تحلیل XRD استفاده شد.



شکل ۳- الگوی XRD برای شیشه‌های عملیات حرارتی شده در شرایط متفاوتی از اتمسفر، دما و زمان رشد

عملیات حرارتی شده در بستر گرافیتی با کدھای  $G_{T-t}$  کدگذاری شدند که  $T$  و  $t$  به ترتیب نشان‌دهنده دمای رشد و زمان نگهداری در دمای رشد هستند. برای نمونه عملیات حرارتی شده در اتمسفر هوا نیز کد  $air-G_{T-t}$  استفاده شد.

شکل (۳) الگوی XRD نمونه‌های عملیات حرارتی شده را نشان می‌دهد. برای نمونه‌های عملیات حرارتی شده در بستر گرافیتی و اتمسفر هوا در دمای  $510^{\circ}\text{C}$  به مدت یک ساعت  $\text{NaAlSiO}_4$ ,  $\text{NaBO}_2$ ,  $\text{NiO}$ ,  $\text{NiFe}_2\text{O}_4$ , (air), فازهای  $G_{510-t}$ , شناسایی شده‌اند. الگوی XRD برای فازهای فریت نیکل، مگنتیت ( $\text{Fe}_3\text{O}_4$ ) و ماقمگیت ( $\gamma\text{-Fe}_2\text{O}_3$ ) تقریباً به طور کامل بر روی یکدیگر منطبق‌اند و تفکیک این فازها توسط XRD کار دشواری است. راه قطعی تشخیص این فازها استفاده از اسپکتروسکوپی مازباور است. با توجه به اینکه در مواد اولیه از اکسید آلومینیم استفاده نشده، احتمالاً اکسید آلومینیم موجود از طریق خوردگی بوته وارد مذاب شیشه شده است. تحلیل XRF حضور عنصر Al را به میزان  $6/55\%$  وزنی در شیشه تأیید کرد که این مقدار تقریباً معادل  $4/42\%$  مولی در بچ اولیه است. برای مقایسه میزان فاز مغناطیسی متبلور شده، قوی‌ترین قله فریت نیکل بر روی تمامی نمونه‌ها مشخص شده است. با مقایسه شدت قله‌های فازهای مغناطیسی متبلور شده در دو اتمسفر، می‌توان گفت حضور اکسیژن در اتمسفر عملیات حرارتی باعث



شکل ۲- تحلیل حرارتی افتراقی برای شیشه پایه

جدول ۲- نتایج تحلیل حرارتی افتراقی برای شیشه پایه.

$T_g$	$T_d$	$T_N$	$T_c$
۳۵۵	۳۷۹	۳۶۷	۵۱۰

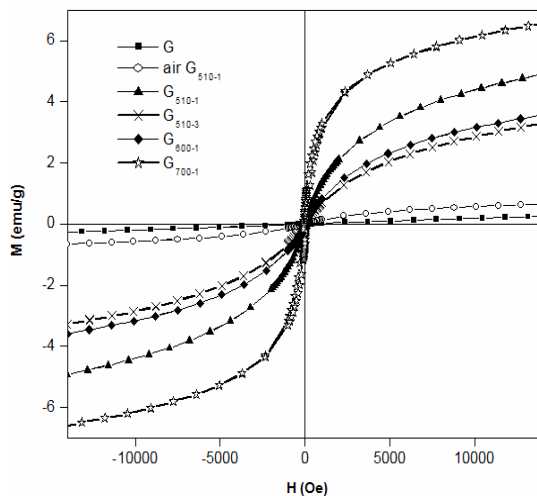
کاهش  $\text{Fe}_2\text{O}_3$  و  $\text{NiO}$  از تبلور جلوگیری شود. شکل (۱) نشان می‌دهد که این روند باعث کاهش تبلور شیشه شده است تا نهایتاً شیشه  $G_8$  عاری از هر گونه فاز بلوری (در حد دقت XRD) به دست آمد. بنابراین شیشه  $G_8$  با ترکیب  $20\% \text{SiO}_2$  -  $44\% \text{Na}_2\text{O}$  -  $8\% \text{NiO}$  -  $8\% \text{Fe}_2\text{O}_3$  -  $2\% \text{B}_2\text{O}_3$  در نظر گرفته شد و از این پس با علامت  $G$  نشان داده می‌شود. در شکل (۲) تحلیل DTA نمونه شیشه پایه در اتمسفر آرگون نشان داده شده است. دماهای انتقال به شیشه ( $T_g$ )، دمای نرم‌شوندگی دیلاتومتری ( $T_d$ )، دمای جوانه‌زنی ( $T_N$ ) و دمای رشد ( $T_c$ ) نیز در جدول (۲) آورده شده است. با استفاده از رابطه  $T_N = \frac{T_g + T_d}{2}$ ، دمای جوانه‌زنی  $367^{\circ}\text{C}$  به دست آمد. قله گرمaza در حوالی  $510^{\circ}\text{C}$  نیز به عنوان دمای رشد انتخاب شد. در شکل دو قله گرمaga در دمای  $651^{\circ}\text{C}$  و  $732^{\circ}\text{C}$  مشاهده می‌شود که احتمالاً به دلیل ذوب شیشه و یا ذوب برخی از فازهای متبلور شده در دماهای پایین‌تر است.

طبق نتایج DTA عملیات حرارتی نمونه‌ها در دماها و زمان‌های مختلف انجام شد. زمان نگهداری در دمای جوانه‌زنی ۱ ساعت و در دمای رشد ۱ ساعت انتخاب شد. نمونه‌های

نگه داری در دمای رشد یا افزایش دمای عملیات حرارتی میزان فاز فریتی متبلور شده افزایش یابد. تحلیل XRD برای نمونه های  $G_{600-1}$  و  $G_{510-3}$  نشان می دهد که شدت فاز فریت نیکل تغییر چندانی نکرده و حتی شاید کاهش یافته باشد. به نظر می رسد افزایش زمان نگه داری در دمای رشد و افزایش دمای متبلور نمونه ها تا این مرحله، تنها منجر به افزایش میزان فازهای غیر مغناطیسی در نمونه می شود و تأثیری بر بمبود تبلور  $\text{NiFe}_2\text{O}_4$  ندارد. اما افزایش دما تا  $700^\circ\text{C}$  نشان می دهد که در این دما تبلور فریت نیکل به مرتبه بهتر صورت گرفته و قله مشخصه این فاز کاملاً واضح و مشخص شده است. در این نمونه علاوه بر فاز  $\text{NiFe}_2\text{O}_4$ ، حضور فازهای  $\text{Na}_2\text{SiO}_3$ ،  $\text{NaBO}_2$ ،  $\text{NaAlSiO}_4$  و  $\text{Na}_6(\text{AlSiO}_4)_6$  نیز مشاهده می شود.

شکل (۴) منحنی آهنربایش بر حسب میدان نمونه های شیشه سرامیک سنتز شده را نشان می دهد، همچنین برای مقایسه منحنی نمونه شیشه پایه نیز در این شکل آورده شده است. مقادیر آهنربایش ( $M$ ) در میدان  $0\text{e}$  و میدان پسماندزدای ( $H_C$ ) هر یک از نمونه ها نیز در جدول (۳) ارائه شده است. میزان آهنربایش اشباع برای تک بلور فریت نیکل در دمای  $50\text{ emu/g}$  است [۲۰]. با انجام محاسبات و تبدیل درصد مولی به درصد وزنی و با فرض اینکه تمامی اکسید آهن و اکسید نیکل به  $\text{NiFe}_2\text{O}_4$  تبدیل شوند، بیشترین مقدار فریت نیکلی که در ترکیب به کار رفته در شیشه حاضر می تواند متبلور شود،  $26\%$  وزنی است. بنابراین بیشترین میزان آهنربایشی که در نتیجه تبلور  $\text{NiFe}_2\text{O}_4$  می توان برای این شیشه انتظار داشت،  $13\text{ emu/g}$  خواهد بود. همچنین هنگامی که ذرات در ابعاد نانومتری قرار می گیرند، آهنربایش آن ها کاهش می یابد. آهنربایش اشباع برای پودر فریت نیکل با اندازه  $15\text{ nm}$ ،  $32\text{ گزارش شده است}$  [۵].

با توجه به شکل، نمودار آهنربایش بر حسب میدان برای شیشه پایه خطی است که نشان دهنده پارامغناطیس بودن آن است. برای نمونه  $G_{510-1}$  air میزان آهنربایش نسبت به نمونه شیشه افزایش یافته و همچنین نمودار تقریباً از حالت خطی



شکل ۴- منحنی VSM برای نمونه شیشه پایه و شیشه سرامیک های سنتز شده در شرایط متفاوت اتمسفر، دما و زمان تبلور.

جدول ۳- مقادیر آهنربایش و میدان پسماندزدا برای نمونه شیشه پایه و شیشه سرامیک های سنتز شده.

نمونه	$M$ (emu/g)	$H_C$ (Oe)
G	$0/3$	-
Air $G_{510-1}$	$0/7$	-
$G_{510-1}$	$4/9$	۱
$G_{510-3}$	$3/3$	۵
$G_{600-1}$	$3/6$	۲
$G_{700-1}$	$6/6$	۶۵

کاهش میزان تبلور فاز مغناطیسی شده است. در سنتز لایه نازک فریت نیکل به کاهش آهنربایش در اثر افزایش فشار جزیی اکسیژن اشاره شده [۱۷]، همچنین در پژوهش های صورت گرفته در مورد سنتز شیشه سرامیک مگنتیتی [۱۸] و فریت منگنز [۱۹] بیان شده که اتمسفر اکسیدی اثر نامطلوبی بر میزان تبلور فاز فریتی دارد. در تحقیق حاضر به نظر می رسد مقدار بیشتری از اکسید آهن به صورت آمرف در زمینه شیشه باقی مانده است. در گام های بعدی تلاش شد تا با افزایش زمان

در ناحیه داخلی ذره توسط یک لایه سطحی از اسپین‌های نامنظم منجمد احاطه شده است، توضیح داده می‌شود [۲۱]. وجود قله پهن در الگوی XRD و عدم به اشباع رسیدن آهنربایش در منحنی VSM می‌تواند احتمالاً دلایلی مبنی بر نانوسایز بودن ذرات  $\text{NiFe}_2\text{O}_4$  در نمونه  $G_{700-1}$  باشد.

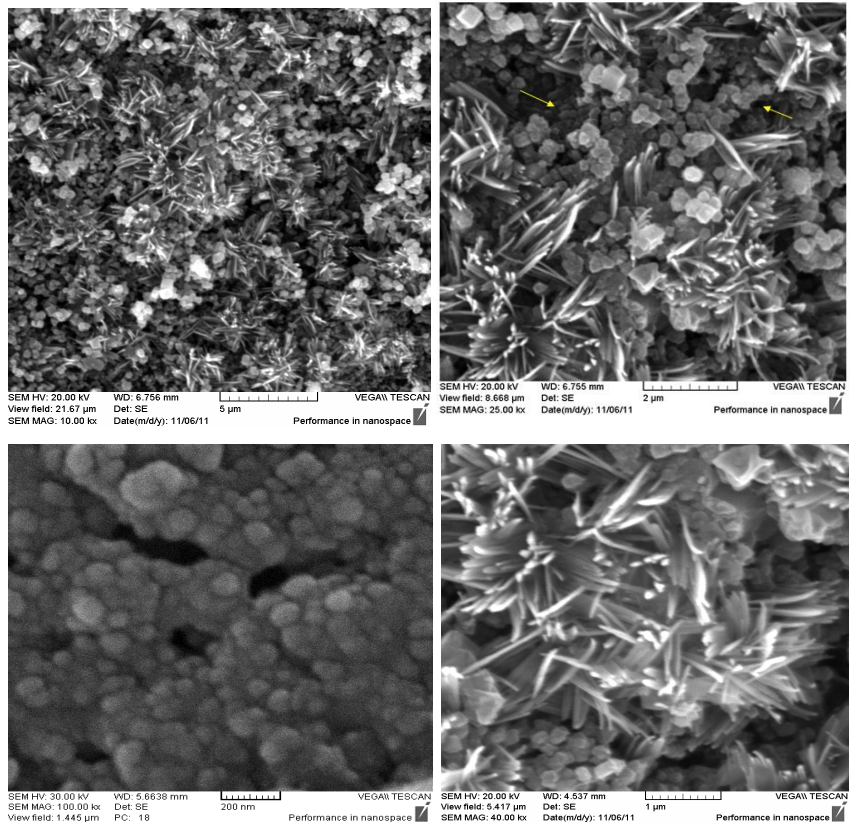
پیش از این اشاره شد که در اثر تبلور فاز فریت نیکل، بیشترین میزان آهنربایشی که برای این سیستم می‌توان در نظر گرفت  $13 \text{ emu/g}$  است. میزان آهنربایش به دست آمده برای نمونه  $G_{700-1}$  در میدان اعمالی  $15 \text{ KOe}$ ،  $6/6 \text{ emu/g}$  است. کوچکتر بودن میزان آهنربایش نسبت به عدد مورد انتظار می‌تواند به دلیل عدم تبلور کامل فریت نیکل و همین‌طور نانوسایز بودن ذرات مغناطیسی تبلور شده باشد.

در شکل (۵) تصاویر میکروسکوپ الکترونی روبشی برای نمونه  $G_{700-1}$  نشان داده شده است. دو نوع مورفولوژی مکعبی و میله‌ای در این تصاویر مشاهده می‌شود که در تمامی نمونه‌های پراکنده شده‌اند. همان‌گونه که در بخش‌های قبلی اشاره شد، تحلیل XRD وجود فازهای  $\text{NiFe}_2\text{O}_4$ ,  $\text{Na}_2\text{SiO}_3$ ,  $\text{NaBO}_2$ ,  $\text{NaAlSiO}_4$  و  $\text{Na}_6(\text{AlSiO}_4)_6$  را در این نمونه نشان داد. شکل (۶) طیف EDS را به ترتیب برای بلورهای مکعبی و میله‌ای نشان می‌دهد. با مقایسه این دو طیف می‌توان گفت میزان عناصر  $\text{Fe}$  و  $\text{Al}$  در بلورهای مکعبی به مراتب بیشتر از بلورهای میله‌ای شکل است و بنابراین می‌توان احتمال داد که مورفولوژی مکعبی مربوط به فازهای  $\text{NiFe}_2\text{O}_4$  و  $\text{NaAlSiO}_4$  و  $\text{Na}_6(\text{AlSiO}_4)_6$  باشد.

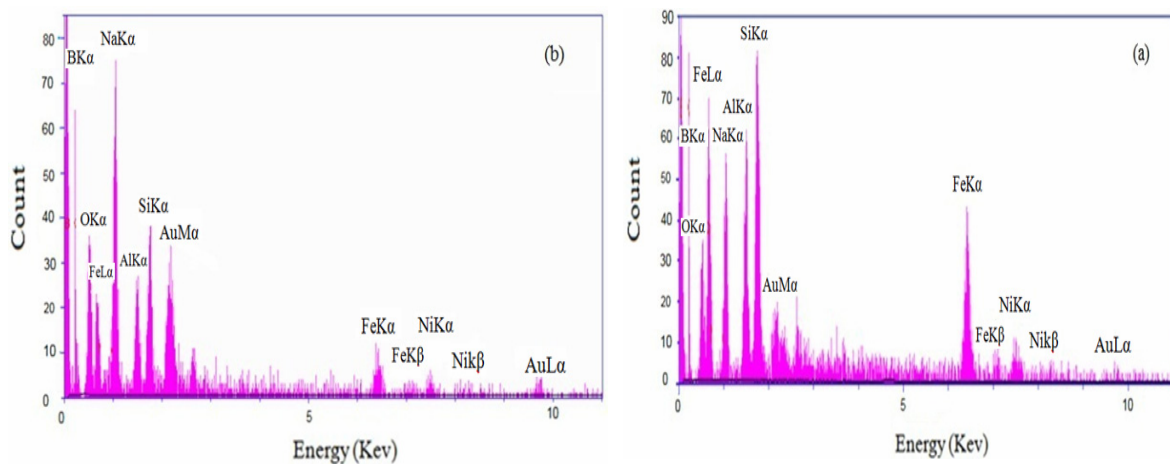
با توجه به شکل (۵) بلورهای مکعبی از نظر اندازه به دو دسته ریز و درشت قابل تفکیک‌اند. بلورهای ریز تر دارای ابعاد  $100 \text{ nm}$  (در شکل با فلش نشان داده شده‌اند) و بلورهای درشت‌تر دارای ابعاد  $200 \text{ nm}$  و بالاتر هستند. تشخیص اینکه ذرات فاز فریت نیکل مربوط به کدامیک از این دو دسته است کار دشواری است اما شاید با توجه به پهن بودن قله‌های  $\text{NiFe}_2\text{O}_4$  در تحلیل XRD و عدم به اشباع رسیدن

خارج شده و به صورت منحنی درآمده است. این تغییرات به‌واسطه‌ی تبلور فاز مغناطیسی در نمونه است. مقایسه‌ی نمونه‌های عملیات حرارتی شده در دما و زمان مشابه اما اتمسفر متفاوت نشان می‌دهد که آهنربایش از  $4/9 \text{ emu/g air}$  در  $G_{510-1}$  برای نمونه  $G_{510-1}$  افزایش یافته است. نتایج VSM در تطابق با نتایج XRD نشان می‌دهد که تبلور فاز مغناطیسی در اتمسفر احیایی به مراتب بهتر از اتمسفر اکسیدی صورت پذیرفته است. برای نمونه  $G_{510-1}$  مقدار میدان پسماندزدا  $1 \text{ Oe}$  محاسبه شد. همچنین با توجه به شکل (۴)، این نمونه از نظر مغناطیسی به اشباع نرسیده و منحنی آن دارای شب تندی حتی در میدان  $15000 \text{ Oe}$  است. با توجه به اینکه از مشخصه‌های مواد سوپرپارامغناطیس عدم وجود حلقه هیسترزیس و عدم به اشباع رسیده در میدان‌های بالاست، به نظر می‌رسد که نمونه  $G_{510-1}$  سوپرپارامغناطیس باشد. البته اثبات قطعی این موضوع نیاز به انجام آزمایش اسپکتروسکوپی مازبارور دارد. افزایش زمان و دمای تبلور به ترتیب برای نمونه‌های  $G_{510-1}$  و  $G_{600-1}$  باعث کاهش میزان آهنربایش این نمونه‌ها نسبت به نمونه  $G_{510-1}$  شد. پیشتر مشاهده شد که میزان فازهای غیر مغناطیسی در الگوی XRD این نمونه‌ها افزایش یافته بودند. احتمالاً دلیل کاهش آهنربایش در این نمونه‌ها نسبت به نمونه  $G_{510-1}$ ، به خاطر همین افزایش فازهای غیرمغناطیسی است.

افزایش دمای تبلور تا  $700^\circ\text{C}$  باعث افزایش میزان آهنربایش تا حد  $6/6 \text{ emu/g}$  شد که در میان تمامی نمونه‌ها دارای بیشترین میزان آهنربایش است. این نتایج در تطابق با تحلیل XRD مبنی بر تبلور پیشتر فاز فریت نیکل در نمونه  $G_{700-1}$  نسبت به سایر نمونه‌های است. همچنین پهنای حلقه هیسترزیس افزایش یافت و میدان پسماندزدا به  $65 \text{ Oe}$  رسید. دلیل این موضوع احتمالاً افزایش اندازه ذارت فاز مغناطیسی است. در این نمونه نیز مشاهده می‌شود که منحنی آهنربایش بر حسب میدان به اشباع نرسیده است. عدم وجود اشباع آهنربایش در نانوذرات فریتی (حتی در میدان‌های قوی) توسط مدل «هسته-پوسته» که در آن یک ساختار فریمغناطیس کاملاً منظم



شکل ۵- تصاویر SEM برای نمونه  $G_{700-1}$  در بزرگنمایی‌های مختلف.



شکل ۶- آنالیز EDS مربوط به (a) بلورهای مکعبی و (b) بلورهای میله‌ای.

منحنی VSM بتوان گفت که اندازه ذرات فریت نیکل در محدوده  $100 \text{ nm} <$  قرار می‌گیرند  
 $\wedge \text{NiO} - \wedge \text{Fe}_2\text{O}_3 - \wedge \text{B}_2\text{O}_3 - \wedge \text{SiO}_2$  شیشه با ترکیب ۴- نتیجه‌گیری

مغناطیسی و افت خواص مغناطیسی شد. افزایش بیشتر دما تا  $700^{\circ}\text{C}$  موجب افزایش تبلور فاز فریتی شد که در نتیجه‌ی آن آهنربایش و میدان پسماندزدا افزایش یافت. آزمایشات نشان داد که تبلور فاز مغناطیسی از درون شیشه به شدت به اتمسفر، دما و زمان عملیات حرارتی وابسته است.

VSM و  $\text{Na}_2\text{O} - \text{XRD}$ , فاز فریت نیکل در بستر گرافیت به مراتب بیشتر از اتمسفر هوا تبلور یافت. همچنین در اتمسفر احیایی افزایش زمان نگه داری در دمای رشد از ۱ ساعت به ۳ ساعت و افزایش دمای تبلور تا  $600^{\circ}\text{C}$  باعث افزایش فازهای غیر

## واژه‌نامه

1. surface spin disorder
2. Komatsu
3. super exchange interaction
4. network former oxide
5. intermediate oxide

## مراجع

1. Jacob, J., and Khadar, M., "Investigation of Mixed Spinel Structure of Nanostructured Nickel Ferrite," *J. Appl. Phys.*, Vol. 107, pp. 114310-1, 2010.
2. Wu, Y., Shi, C., and Yang, W., "Fabrication and Magnetic Properties of NiFe<sub>2</sub>O<sub>4</sub> Nanorods," *Rare Metals*, Vol. 29, pp. 385-389, 2010.
3. Brook, R. J., and Kingery, W. D., "Nickel Ferrite Thin Films: Microstructures and Magnetic Properties," *J. Appl. Phys.*, Vol. 38, pp. 3589, 1967.
4. Kodama, R. H., Berkowitz, A. E., Mcniff, E. J., and Foner, S., "Surface Spin Disorder in Ferrite Nanoparticles," *J. Appl. Phys.*, Vol. 81, pp. 5552-5557, 1997.
5. Ceylan, A., Hasanain, S. K., and Ismat Shah, S., "Experimental Observations of Field-Dependent Activation of Core and Surface Spins in Ni-Ferrite Nanoparticles," *J. Phys.: Condens. Matter*, Vol. 20, pp. 195208, 2008.
6. Li, L., Li, G., Smith, R. L., and Inomata, H., "Microstructural Evolution and Magnetic Properties of NiFe<sub>2</sub>O<sub>4</sub> Nanocrystals Dispersed in Amorphous Silica," *Chem. Mater.*, Vol. 12, pp. 3705-3714, 2000.
7. Shi, Y., and Ding, J., "Strong Unidirectional Anisotropy in Mechanically Alloyed Spinel Ferrites," *J. Appl. Phys.*, Vol. 90, pp. 4078-4084, 2001.
8. Wang, L., "Prepare Highly Crystalline NiFe<sub>2</sub>O<sub>4</sub> Nanoparticles with Improved Magnetic Properties," *Materials Science and Engineering B*, Vol. 127, pp. 81-84, 2006.
9. Maaz, K., Mumtaz, A., Hasanain, S. K., and Bertino, M. F., "Temperature Dependent Coercivity and Magnetization of Nickel Ferrite Nanoparticles," *Magnetism and Magnetic Materials*, Vol. 322, pp. 2199-2202, 2010.
10. Komatsu, T., and Soga, N., "Mossbauer Study of the NiFe<sub>2</sub>O<sub>4</sub> Precipitation Process from a Silicate Glass," *J. Appl. Phys.*, Vol. 51, pp. 601-606, 1980.
11. Rathenau, G. W., "Saturation and Magnetization of Hexagonal Iron Oxide Compounds," *Review of Modern Physics*, Vol. 25, p. 297, 1953.
12. Sixtus, K. J., "Recent Advances in the Field of Permanent Magnets," *con. Magnetism and Magnetic Materials*, p. 142, 1955.
13. Shirk, B. T., and Bussem, W. R., "Magnetic Properties of Barium Ferrite Formed by Crystallization of a Glass," *J. Am. Cer. Soc.*, Vol. 53, 1970.
14. Tsuzuki, A., Ani, K., Watari, K., Kawakami, S., and Tori, Y., "Preparation of Aluminium, Gallium and Indium Substituted BaFe<sub>12</sub>O<sub>19</sub> Powders by Glass-Ceramic Method," *J. mater. Sci.*, Vol. 15, pp. 893-895, 1992.
15. مارقوسیان، و.، شیشه: ساختار خواص و کاربرد، انتشارات دانشگاه علم و صنعت ایران، تهران، ۱۳۸۱
16. Volf, M. B., *Chemical Approach to Glass*, Elsevier Science Ltd, 1984.
17. Anjum, S., Jaffari, G. H., Rumaiz, A. K., Rafique, M. S., and Shah, S. I., "Role of Vacancies in Transport and Magnetic Properties of Nickel Ferrite Thin Films," *J. Phys. D: Appl. Phys.*, Vol. 43, pp. 265001(7), 2010.
18. امیر احمدی، ز.، "بررسی اثر اکسید اسیون و احیا، نوhe و مقدار جوانه‌زا بر ریزساختار و خواص مغناطیسی شیشه-سرامیک‌های مغنتیتی نانوساختار"، رساله کارشناسی

19. Smith, D. R., and Cooper, R. F., "Dynamic Oxidation of a Fe<sup>2+</sup>- Bearing Calcium Magnesium-Aluminosilicate Glass: the Effect of Molecular Structure on Chemical Diffusion and Reaction Morphology," *Journal of Non-Crystalline Solids*, Vol. 278, pp. 145-163, 2000.

20. Cullity, B. D., and Graham, C. D., *Introduction to Magnetic Materials*, John Wiley & Sons inc, 2009.

21. Rechenberg, H. R., Sousa, E. C., Depeyrot, J., Sousa, M. H., Aquino, R., Tourinho, F. A., and Perzynski, R., "Surface Spin Disorder in Nickel Ferrite Nanomagnets Studied by In-field Mössbauer Spectroscopy," *Hyperfine Interact*, Vol. 184, pp. 9-14, 2008.